

اثر سیبیک وابسته به اسپین در گرافین اسپین جفت شده

بیرانوند، راضیه؛ حمزه پور، حسین

دانشکده فیزیک دانشگاه صنعتی خواجه نصیرالدین طوسی، تهران، ایران

چکیده

در این مطالعه، اثرات ترمومکتریک وابسته به بار و اسپین را با استفاده از فرمولایزم بوگلیووف-دژن در اتصال گرافینی شامل فرومغناطیس و ابررسانا در حضور و عدم حضور اسپین-مدار راشبا مورد مطالعه قرار داده‌ایم. نتایج حاصل شده نشان می‌دهد که علیرغم اتصال نرم‌مال-ابررسانا در گرافین، در یک اتصال فرومغناطیس-ابررسانا (*F-S*) و همچنین در اتصال فرومغناطیس-اسپین مدار راشبا-ابررسانا (*F-RSO-S*)، ضربی توان-گرمایی (سیبیک) اسپینی وابسته به دما وجود دارد. علاوه بر این، معیار شایستگی نسبتاً بزرگی در حضور اثر اسپین-مدار در اتصال دیده می‌شود و ضربی سیبیک بار و اسپین در این اتصال به ترتیب تا بیشترین مقادیر خود یعنی $3/5$ و $2/5$ (k_{Be}) افزایش می‌یابند. این خواص با تعییر پتانسیل شیمیایی و بردار مغناطیس فرومغناطیس قابل تنظیم هستند. اثرات دیده شده در اتصال با حذف اسپین-مدار راشبا از بین می‌روند. نتایج حاصل شده می‌تواند کاربرد اتصالات گرافینی شامل ابررسانا را در ابزارهای الکتروگرمایی وابسته به اسپین افزایش دهد.

Spin Seebeck effect in spin-orbit coupled graphene

Razieh, Beiranvand; Hamzehpour, Hossein

Department of Physics, KNT University of Technology, Tehran, Iran.

Abstract

*Using the Bogoliubov de-Gennes formalism, we investigate the charge and spin-dependent thermoelectric effects in ferromagnetic-superconductor graphene junctions with and without Rashba spin-orbit coupling. Results demonstrate that despite normal-superconductor junctions of graphene, there is a temperature dependent spin Seebeck both in the graphene-based ferromagnetic-superconductor (*F-S*) and ferromagnetic-Rashba spin-orbit region-superconductor (*F-RSO-S*) junctions. Furthermore, we obtain significantly large figure of merit for spin thermopower in the presence of Rashba spin-orbit interaction and the charge and spin Seebeck coefficients can reach to their maximum up to $3.5 k_{Be}$ and $2.5 k_{Be}$, respectively. Remarkably, these coefficients are tunable with respect to magnetic exchange field and chemical potential. These observed effects disappear when the Rashba coupling is absent. These results suggest that graphene-based superconductors can be used in spin-caloritronics devices.*

PACS No. 72.80.Vp, 73.50.Lw, 85.75.-d, 72.25.-b, 47.78.-w.

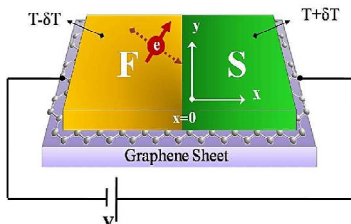
فرومغناطیسی، ابررسانایی و اسپین-مدار می‌تواند از طریق اثر مجاورت در گرافین القا شود [۹-۱۱]. ساختار نواری گرافین متقارن و خطی شکل است و در گرافین فرومغناطیس، تقارن زیرنوارهای اسپینی شکسته می‌شود. از آنجایی که وجود عدم تقارن در چگالی اسپینی حامل‌های بار در مجاورت سطح فرمی مهمترین عامل ایجاد اثرات الکتروگرمایی وابسته به اسپین است، طراحی اتصالات گرافینی شامل فرومغناطیس می‌تواند راهگشای مناسبی برای دستیابی به بازدهی بالاتر در ابزارهای الکتروگرمایی اسپینی باشد. از طرف دیگر، فرومغناطیس و ابررسانایی دو پدیده‌ی بسیار متضاد هستند و بدیهی است که مجاورت این دوفاز متفاوت در یک سامانه منجر به اثرات مهمی خواهد شد. علاوه بر آن، از

مقدمه

در سال‌های اخیر، گرافین به دلیل داشتن خواص منحصر به فرد در رسانندگی الکتریکی و گرمایی حجم وسیعی از تحقیقات را در فیزیک ماده چگال به خود اختصاص داده است [۱، ۲] و کاندید مناسبی برای جایگزینی سیلیکان در قطعات فوتونیکی و الکترونیکی به شمار می‌آید [۳-۶]. گرافین طبیعی یک شبکه فلز با گاف نواری صفر است که دارای تحرک پذیری الکترونی بسیار بالا در دمای اتاق می‌باشد. خواص تراپردازی حامل‌های بار در گرافین که فرمیون‌های دیراک نامیده می‌شوند ویژگی‌های جالبی از قبیل اثر هال کوانتوسی غیرعادی [۴]، تونل زنی کایرال [۷]، پارادوکس کلاین [۸] و غیره را ایجاد می‌کنند. علاوه بر این، خاصیت

الف- اتصال گرافینی فرومغناطیس-ابرسانا

برای داشتن تحلیل درستی از نحوه حضور و عملکرد ناحیه اسپین-مدار در یک اتصال، در بخش نخست، اتصالی از دو ناحیه فرومغناطیس و ابررسانا با مرز مشترکی در $x = 0$ بدون حضور ناحیه اسپین-مدار مطابق شکل ۱ در نظر گرفته شده است که الکترونی با جهت گیری اسپینی مشخص (اسپین بالا) به مرز مشترک اتصال برخورد می‌کند. از آنجایی که محاسبه اثرات ترمولکتریک وابسته به محاسبه رسانندگی بار و گرمای اسپینی است و رسانندگی نیز تابعی از ضرایب بازتاب و عبور حامل‌های بار در اتصال است، کافی است ضرایب تراپرد کوانتمی در مرز اتصال را با به دست آوردن توابع موج هر ناحیه و اعمال شرایط مرزی مناسب محاسبه کیم.



شکل ۱: اتصال گرافینی که دو انتهای آن در اختلاف دمای کوچکی نگهداشته شده است. به طور شماتیکی، الکترونی با اسپین بالا به فصل مشترک اتصال در $x = 0$ برخورد می‌کند.

هامیلتونی توصیف کننده حامل‌های بار در این اتصال از طریق فرمالیزم بوگلیوبوف-دوژن به صورت زیر نوشته می‌شود [۱۳, ۱۴]:

$$\begin{pmatrix} H - \mu^i & \Delta \\ \Delta^* & \mu^i - \mathbb{T}[H]\mathbb{T}^{-1} \end{pmatrix} \begin{pmatrix} u \\ v \end{pmatrix} = \epsilon \begin{pmatrix} u \\ v \end{pmatrix} \quad (6)$$

که در آن \mathbb{T} عملگر تقارن وارونی زمانی، μ^i پتانسیل شیمیابی ناحیه فرومغناطیس یا ابررسانا و H مجموع هامیلتونی ناحیه فرومغناطیس (بررسانا) و $(H_F = (s_z \otimes \sigma_0)h)$ به ازای ($x \leq 0$)، ابررسانا ($H_S = -U_0 s_0 \otimes \sigma_0$) به ازای ($x \geq 0$) و هامیلتونی دیراک ($H_D = s_0 \otimes \hbar v_F (\sigma_x k_x + \sigma_y k_y)$) است. پارامترهای u و v نیز نشان‌دهنده بخش‌های الکترونی و حفره‌ای توابع موج و σ_i ها ماتریس‌های پائولی هستند. در ناحیه فرومغناطیس مقدار گاف ابررسانایی برابر صفر در نظر گرفته می‌شود و در ابررسانا ابررسانایی برابر $\Delta(T) = \Delta_0 \tanh(1.76\sqrt{(T_c/T) - 1})$ است که در آن Δ_0 گاف ابررسانایی در دمای صفر است. با قطعی کردن هامیلتونی فوق، ویژه مقادیر نواحی فرومغناطیس و ابررسانا به دست می‌آیند:

دیدگاه تجربی، اثر اسپین مدار راشبا و درسلهوس نیز می‌تواند از طریق مجاورت در گرافین القا شود. معمولاً، حضور همزمان فرمغناطیسی و اثر اسپین-مدار در یک سامانه زمینه‌ی مناسبی برای تراپرد کوانتمی و گرمایی حامل‌های بار و اسپین فراهم می‌کند که می‌تواند منجر به اثرات شگفت‌انگیز شود.

نتایج و بررسی

برای توصیف اثرات ترمولکتریکی در یک اتصال، از فرمالیزم BTK تعمیم یافته استفاده می‌شود [۱۲]. در این روش، جریان بار و گرمای با استفاده از رابطه زیر محاسبه می‌شوند:

$$\left(\frac{I_{ch}}{I_{th}} \right) = \frac{W}{\pi^2 \hbar} \int d\varepsilon \left(\frac{G}{\kappa} \right) N_\sigma(\varepsilon) [f_L(\varepsilon) - f_R(\varepsilon)] \quad (1)$$

که بر حسب رسانندگی بار ($G = G_\sigma + G_{\bar{\sigma}}$) و رسانندگی گرمای ($\kappa = \kappa_\sigma + \kappa_{\bar{\sigma}}$) وابسته به اسپین ($\sigma = \pm, \bar{\sigma} = -\sigma$) داده می‌شوند. در رابطه‌ی بالا ($f_{L,R}(\varepsilon)$ تابع توزیع فرمی دیراک در سمت چپ و راست اتصال و $N_\sigma = |\varepsilon + \mu + \sigma h|$ چگالی حالت‌های وابسته به اسپین است. رسانندگی الکتریکی و گرمایی نیز از روابط زیر به دست می‌آیند:

$$G_\sigma = g_0 \int_{-\frac{\pi}{2}}^{+\frac{\pi}{2}} \cos \alpha d\alpha \left(1 - \sum_{\sigma'=\pm} \left(|r_N^{\sigma'}|^2 - |r_A^{\sigma'}|^2 \right) \right) \quad (2)$$

$$\kappa_\sigma = g_0 \int_{-\frac{\pi}{2}}^{+\frac{\pi}{2}} \cos \alpha d\alpha \left(1 - \sum_{\sigma'=\pm} \left(|r_N^{\sigma'}|^2 + |r_A^{\sigma'}|^2 \right) \right)$$

که در آن $|r_N^{\sigma'}|^2$ و $|r_A^{\sigma'}|^2$ به ترتیب احتمال بازتاب عادی و آندریو وابسته به اسپین و $g_0 = 2e^2/\hbar$ کوانتای رسانندگی است. اگر دو انتهای اتصال در اختلاف دمای δT در نظر گرفته شده باشد، اثر سیبک وابسته به اسپین (مقدار ولتاژی که به ازای آن جریان باری از اتصال عبور نکند) از رابطه‌ی زیر محاسبه می‌شود:

$$S_\sigma = - \left(\frac{V}{\delta T} \right)_{I_{ch}=0} \quad (3)$$

برای محاسبه‌ی ضریب سیبک بار (S_{ch}) و ضریب سیبک وابسته به اسپین (S_{sp}) رابطه‌ی فوق را به کار می‌گیریم:

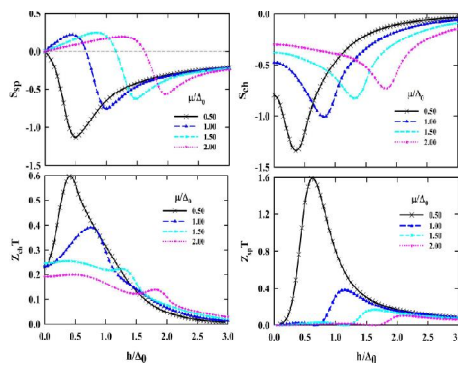
$$S_{ch} = \frac{S_\sigma + S_{\bar{\sigma}}}{2} \quad S_{sp} = S_\sigma - S_{\bar{\sigma}} \quad (4)$$

علاوه بر این، معیار شایستگی (Z) را برای تعیین میزان کارایی اتصال در دستگاه‌های خنک کننده از رابطه زیر محاسبه می‌کنیم:

$$Z_{ch}T = \frac{G_{ch}S_{ch}^2 T}{\kappa} \quad Z_{sp}T = \frac{G_{sp}S_{sp}^2 T}{\kappa_{sp}} \quad (5)$$

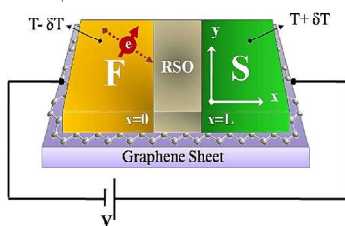
که در آن $|S_{\bar{\sigma}}|$ و $\kappa_{sp} = |\kappa_\sigma - \kappa_{\bar{\sigma}}|$ است. $G_{sp} = |G_\sigma - G_{\bar{\sigma}}|$

مقدار خود می‌رسند. همان طور که از ساختار نواری گرافین برمی-آید، با مساوی هم قرار دادن پتانسیل شیمیایی و مغناطش، الکترون با اسپین بالا و حفره اسپین پایین از هم جدا می‌شوند و هر یک در یک زیرنوار اسپینی قرار می‌گیرند. ب) رژیم مغناطش قوی ($h > \Delta_0$): با افزایش هر چه بیشتر مقدار پتانسیل شیمیایی و یا پتانسیل تبادلی مغناطیسی، شکافتگی ترازها تا حدی زیاد می‌شود که حامل‌های بار دیگر انرژی لازم برای حضور در ترازهای بالاتر را به دست نخواهند آورد و به همین علت دامنه ترابرد گرمایی افت می‌کند.



شکل ۳: ضریب سیک بار (S_{ch}) و اسپین (S_{sp}) و معیار شایستگی بار و اسپین بر حسب پتانسیل شیمیایی در اتصال F-S

ب- اتصال فرومغناطیس- اسپین- مدار راشبا- ابررسانا: در حالت دوم، ترابرد گرمایی در حضور اثر اسپین- مدار راشبا را در اتصال F-RSO-S مورد مطالعه قرار می‌دهیم (شکل ۴).

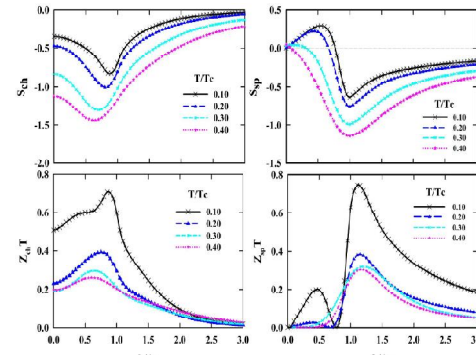


شکل ۴: اتصال فرومغناطیس- ناحیه اسپین- مدار راشبا- ابررسانا در زمینه گرافین که دو انتهای آن در اختلاف دمای کوچک نگهداشته شده است. در حضور اثر اسپین- مدار، هامیلتونی نوشته شده در رابطه (۶) شامل دو بخش هامیلتونی دیراک (H_D) و هامیلتونی ناحیه اسپین- مدار راشبا ($H_{RSO} = -\lambda(s_y \otimes \sigma_x - s_x \otimes \sigma_y)$) برای ($L \leq x \leq 0$) خواهد بود. هامیلتونی ناحیه فرومغناطیس برای ($x \leq 0$) و ناحیه ابررسانا برای ($x \geq L$) نیز مانند روابط ارائه شده در اتصال F-S نوشته می‌شوند. با قطعی کردن هامیلتونی ویژه مقادیر

$$\epsilon = \pm \mu^F \pm \left((k_x^F)^2 + (k_y^F)^2 \right)^{1/2} \pm h \quad (7)$$

$$\epsilon = \left(|\Delta|^2 + \left(\mu^S + U_0 \pm \sqrt{(k_x^S)^2 + (k_y^S)^2} \right)^2 \right)^{1/2} \quad (8)$$

با اعمال شرایط مرزی در $x = 0$ می‌توان ضرایب بازتاب نرمال و آندریو را محاسبه کرد (جزئیات بیشتر محاسبات در مرجع [۱۵]). شکل ۲ و ۳ تغییرات ضریب سیک بار و اسپین و نمودار معیار شایستگی بار و اسپین را بر حسب مغناطش ناجیه فرومغناطیس به ترتیب با تغییر دما و پتانسیل شیمیایی اعمال شده نشان می‌دهد. همان‌گونه که از شکل برمی‌آید، در غیاب میدان تبادلی مغناطیسی در ناحیه فرومغناطیس، اثر سیک اسپینی صفر است.



شکل ۴: ضریب سیک بار (S_{ch}) و اسپین (S_{sp}) و معیار شایستگی بار و اسپین بر حسب مغناطش در اتصال F-S در تمام نمودارها مقدار $\mu = 1.0 \Delta_0$ و $T/Tc = 0.1$ در نظر گرفته شده است.

با افزایش پتانسیل فرومغناطیس h ، مقدار ضرایب سیک بار و اسپین افزایش می‌یابد. این اثر به دلیل شکافتگی زیر نوارهای اسپینی در ناحیه فرومغناطیس است که چگالی حامل‌های بار در مجاورت سطح فرمی را تغییر می‌دهد. در میدان‌های تبادلی بزرگ تر از Δ_0 ترابرد حرارتی افزایش می‌یابد، به همین علت معیار شایستگی متناظر آن دارای روند کاهشی بوده و به صفر میل می-کند. برای مقادیر $h \leq \Delta_0$ ترابرد حرارتی و الکتریکی کم می‌شود و در نتیجه‌ی آن معیار شایستگی روند افزایشی خواهد داشت. از آن-جایی که در گرافین، مقدار پتانسیل شیمیایی μ قابل تغییر و تنظیم است، می‌توان رژیم‌هایی یافت که در آن مقدار و علامت ضریب سیک بهینه باشد: الف) رژیم مغناطش ضعیف ($h \leq \Delta_0$): در این رژیم در صورتی که گرافین آلاییده شده باشد به ازای مقادیر $\mu = h = 1.0 \Delta_0$ ضریب سیک و معیار شایستگی به بیشترین

در برهمکنش اسپین-مدار راشبا نوسان‌های محدودی ناشی از اسپین-میکسینگ در منحنی‌های خود نشان می‌دهند.

نتیجه گیری

در این پژوهش نشان دادیم که حضور برهمکنش اسپین-مدار راشبا می‌تواند در اتصال‌های فرومغناطیس و ابررسانا موجب افزایش بازده ضرایب توان-گرمایی گردد در حالی که معیار شایستگی مقدار قابل قبول خود را همچنان حفظ می‌نماید. این ضرایب با تغییر پتانسیل شیمیایی و بردار مغناطش فرومغناطیس قابل تنظیم هستند. نتایج حاصله کاربرد اتصالات گرافینی شامل ابررسانا را در ابزارهای الکتروگرمایی وابسته به اسپین افزایش می‌دهد.

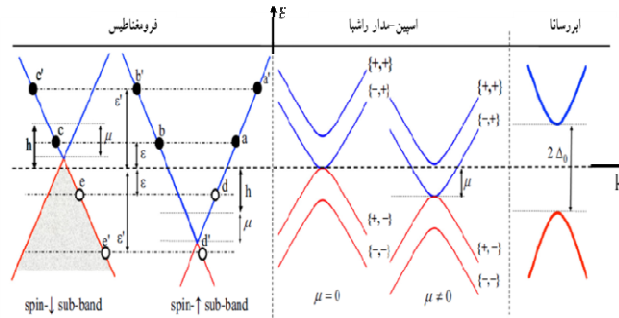
مرجع‌ها

- [1] A. K. Geim and K. S. Novoselov, Nat Mater 6, 183 (2007).
- [2] A. H. Castro Neto, F. Guinea, N. M. R. Peres, K. S. Novoselov, and A. K. Geim, Reviews of Modern Physics 81, 109 (2009).
- [3] K. S. Novoselov, A. K. Geim, S. V. Morozov, D. Jiang, Y. Zhang, S. V. Dubonos, I. V. Grigorieva, and A. A. Firsov, Science 306, 666 (2004).
- [4] Y. Zhang, Y.-W. Tan, H. L. Stormer, and P. Kim, Nature 438, 201 (2005).
- [5] K. S. Novoselov *et al.*, Science 315, 1379 (2007).
- [6] S. V. Morozov, K. S. Novoselov, M. I. Katsnelson, F. Schedin, D. C. Elias, J. A. Jaszczak, and A. K. Geim, Physical Review Letters 100, 016602 (2008).
- [7] M. I. Katsnelson, K. S. Novoselov, and A. K. Geim, Nat Phys 2, 620 (2006).
- [8] C. W. J. Beenakker, Reviews of Modern Physics 80, 1337 (2008).
- [9] N. Tombros, C. Jozsa, M. Popinciuc, H. T. Jonkman, and B. J. van Wees, Nature 448, 571 (2007).
- [10] C. T. Z. Wang, R. Sachs, Y. Barlas, and J. Shi, Physical Review Letters 114, 016603 (2015).
- [11] O. A. S. J. B. S. Mendes, L. M. Meireles, R. G. Lacerda „F. L. A. M. L. H. Vilela-Leo, R. L. Rodriguez-Surez, A., and a. S. M. R. Azevedo, Physical Review Letters 115, 226601 (2015).
- [12] G. E. Blonder, M. Tinkham, and T. M. Klapwijk, Physical Review B 25, 4515 (1982).
- [13] C. W. J. Beenakker, Physical Review Letters 97, 067007 (2006).
- [14] P. G. deGennes, Superconductivity of Metals and Alloys (Westview Press, 1966).
- [15] R. Beiranvand, H. Hamzehpour, and M. Alidoust, Physical Review B 94, 125415 (2016).
- [16] R. Beiranvand and H. Hamzehpour, arXiv:1612.01461 (2016).

انرژی در ناحیه اسپین-مدار به دست می‌آید:

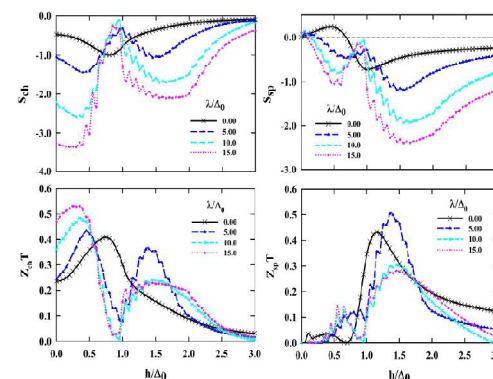
$$\epsilon = \mu^{RSO} + \zeta \left[(k_x^{RSO})^2 + (k_y^{RSO})^2 + \lambda^2 \right]^{1/2} + \eta \lambda \quad (9)$$

ساختار نواری نواحی مختلف مطابق شکل ۵ ترسیم می‌شود:



شکل ۵- ساختار نواری اتصال ابررسانا- اسپین-مدار راشبا- فرومغناطیس. در حضور فرومغناطیس ساختار خطی گرافین به دو زیر نوار اسپینی شکافته شده که منجر به غیرصفر شدن بازتاب‌های آندرویو و نرمال غیرعادی می‌گردد.

در حضور ناحیه اسپین-مدار راشبا، احتمال بازتاب غیرعادی آندرویو و بازتاب غیرعادی نرمال نیز غیر صفر می‌شود (رابطه ۲) و حضور اسپین-مدار در فصل مشترک فرومغناطیس و ابررسانا با شکافتن مجددًا زیرنوارهای اسپینی، تولید یک ناحیه اسپین-میکسینگ می‌کند که چگالی حامل‌های بار را تغییر می‌دهد [۱۵]. از این رو، ضرایب سیبیک بار و اسپین نوسانات طرفی متناسب با پارامتر راشبا (λ) از خود نشان می‌دهند.



شکل ۶: ضریب سیبیک بار (S_{ch}) و اسپین (S_{sp}) و معیار شایستگی بار و اسپین بر حسب پتانسیل شیمیایی در اتصال RSO-S.

با توجه به شکافتنگی ترازها در ناحیه اسپین-مدار، چگالی حامل-های بار در سطح فرمی عدم توازن بیشتری پیدا خواهد کرد که این امر موجب افزایش ضریب توان-گرمایی بار و اسپین تا مقادیر $2/5$ و $2/5 k_B e$ خواهد شد [۱۶]. معیار شایستگی و ضریب توان-گرمایی